

## پلی (استایرن-کو-مالئیک اندیرید) اصلاح شده با نیکل سولفات و کاربرد آن در سنتز

### انواع ۲-آمینو-H<sup>۴</sup>-کروم‌ها

شفا میرانی نژاد، سیدعلی پورموسی<sup>\*</sup>، احسان نظرزاده زارع

دانشکده شیمی، دانشگاه دامغان، دامغان، ایران

تاریخ پذیرش: ۱۰/۰۴/۰۰

تاریخ تصحیح: ۳۰/۰۳/۰۰

تاریخ دریافت: ۲۹/۱۲/۹۹

#### چکیده

در این پژوهه، کاتالیزگر اتصال عرضی شده پلی (استایرن-کو-مالئیک اندیرید) اصلاح شده با نیکل سولفات شش آبه به عنوان یک کاتالیزگر ناهمگن کارآمد در سه مرحله سنتز شد. ابتدا پلی (استایرن-کو-مالئیک اندیرید) با روش پلیمرینراسیون رادیکالی از مونومرهای استایرن و مالئیک اندیرید با نسبت ۱:۱ و با استفاده از آغازگر آزویس ایزو بوتیرو نیتریل سنتز شد. سپس کوبیلم حاصل با استفاده از ۱،۳-فنیلن دی آمین اتصال عرضی شد و در نهایت کوبیلم اتصال عرضی شده با نیکل سولفات اصلاح شد. این کاتالیزگر مبتنی بر پلیمر با استفاده از تبدیل فوریه مادون قرمز (FTIR)، پراکندگی انرژی پرتوایکس (EDX)، پراش اشعه ایکس (XRD)، میکروسکوپ الکترونی روشنی نشر میدانی (FESEM) مورد بررسی و شناسایی قرار گرفت. به منظور بررسی خصوصیات کاتالیزگری پلیمر اصلاح شده با نیکل سولفات، سنتز انواع مختلف مشتقات ۲-آمینو-H<sup>۴</sup>-کروم با استفاده از واکنش مشتقات آلدید با مالونونیتریل در حضور دیملون، رزورسینول یا نفتول مورد بررسی قرار گرفت. ۲-آمینو-H<sup>۴</sup>-کروم در شرایط ملایم با بازده خوب تا عالی (۸۵٪ تا ۹۶٪) سنتز شدند. این کاتالیزور ناهمگن پلیمری عملکرد خوبی در سنتز مشتقات کروم با داشت. این کاتالیزور را می‌توان بدون پیش فعال سازی بازیابی و تا ۵ بار متوالی، بدون کاهش قابل توجه کارایی آن استفاده کرد.

**کلمات کلیدی:** کاتالیزگر ناهمگن پایه پلیمری، پلی (استایرن-کو-مالئیک اندیرید)، واکنش‌های چند جزیی، کروم.

#### ۱- مقدمه

امروزه استفاده از کاتالیزگرهای پایه پلیمری به دلیل داشتن پتانسیل بالا به عنوان کاتالیزگر موثر و کارآمد در سنتز ترکیبات آلی افزایش یافته است [۱]. مزایایی مانند بازده بالای محصولات واکنش، کارائی بالا، جداسازی آسان، قابلیت استفاده مجدد و کم خطر بودن نسبت به دیگر کاتالیزورهای ناهمگن موجب توسعه این کاتالیزگرهای شده است [۲]. پلی (استایرن-کو-مالئیک اندیرید) یکی از کوبیلم‌هایی است که با داشتن حلقه اندیریدی در واحدهای تکرار شونده، قابلیت ایجاد اصلاحات فراوانی دارد همچنین به دلیل ارزان بودن و زیست سازگار بودن مورد توجه فراوانی در صنایع مختلف قرار گرفته است [۳].

تاکنون مقالات زیادی در استفاده از کاتالیزگرهای پایه پلیمری برای سنتز ترکیبات آلی توسط سایر پژوهشگران گزارش شده است. برای نمونه، ناجر<sup>۱</sup> و همکارانش پلی (استایرن-کو-مالئیک اندیرید) را با استفاده از، دی (۲-پیریدیل) متیل آمین و پالادیوم (II) کلرید اصلاح کردند و از آن به عنوان کاتالیزگر در واکنش‌های هک، سوزوکی و سونوگاشیرا استفاده کردند<sup>[۴]</sup>. ملکی و همکارانش از کاتالیزورهای پایه پلیمری اسیدی پلی (وینیل الکل) [۵] و پلی (اتیلن گلایکول) [۶] به عنوان کاتالیزورهای کارآمد برای تهییه  $\alpha$ -آمینو نیتریل‌ها و  $\beta$ -آمینوکربونیل‌ها استفاده کردند.

کروم‌ها حاصل جوش خوردن یک حلقه‌ی بنزن با حلقه‌ی پیران هستند ترکیبات کروم من براساس قرارگیری پیوند دوگانه به دو ایزومر H-۴-کروم و ۲H-کروم تقسیم می‌شوند. مشتقات کروم گروه مهمی از هتروسیکل‌ها هستند که به دلیل خواص زیستی و دارویی متنوع توجهات بسیاری را به خود جلب کرده است<sup>[۷]</sup>. از جمله کاربردهای این ترکیبات، مهارکننده‌ی تکثیر سلولی با اثرات ضدسرطانی<sup>[۸]</sup>، تولید داروهای ضد تومور<sup>[۹]</sup>، ضد ایدز، درمان بیماری‌های عصبی از جمله آلزایمر و پارکینسون [۱۰]، ضد باکتری [۱۱] و ضد ویروس [۱۲] و ضد قارچ<sup>[۱۴]</sup> ... می‌باشد. روش‌های گوناکونی برای سنتز کروم‌ها بکار رفته است. استفاده از امواج ریزموچ، نانوذرات سیلیکا، مایعات یونی، هگزادسیل تری متیل آمونیوم برمید، اکسید فلزی (اکسید منیزیم)، مخلوط اکسیدهای فلزی و ... گزارش شده است<sup>[۱۵]</sup>.

علی‌رغم اینکه روش‌های زیادی برای سنتز کروم‌ها گزارش شده ولی این روش‌ها بعضاً مشکلاتی نظیر زمان طولانی واکنش، شرایط سخت، بازده‌های نه چندان خوب داشته‌اند و لزوم معرفی روش‌های مناسب تر برای سنتز این ترکیبات بیش از پیش حس می‌شود بر این اساس در این پژوهه با هدف ارایه روش سنتز مناسب تر برای این ترکیبات ابتدا کاتالیزگر اتصال عرضی شده پلی (استایرن-کو-مالئیک اندیرید) اصلاح شده با نیکل سولفات شش آبه سنتز شده و سپس کاربرد آن در سنتز مشتقات مختلف کروم‌ها مورد بررسی قرار خواهد گرفت.

## ۲-بخش تجربی

### ۱-۱- مواد و تجهیزات

<sup>۳</sup> تمامی مواد شیمیابی و حلال‌های مورد استفاده در این تحقیق از شرکت مرک (Merck) آلمان و سیگما آلدريچ (Sigma-Aldrich) خریداری شده و بدون خالص سازی مورد استفاده قرار گرفته است.

<sup>۱</sup>C. Nájera.

### ۱-۱-۲- اطلاعات عمومی دستگاه‌های استفاده شده در این پروژه

طیف‌های تبدیل فوریه مادون قرمز (FTIR) توسط دستگاه اسپکتروفتومتر پرکین-المر RXI محصول کشور آمریکا، طیف‌های رزونانس مغناطیسی هسته‌ای پروتون و کربن ( $^{13}\text{C}$ NMR و  $^1\text{H}$ NMR) توسط دستگاه مدل AVANCE DRX 300 (Shibuya- (XRD)، طیف سنج پراش پرتو ایکس (Bruker Avance DRX-400 Germany MHz Hitachi S 4160, Japan) و تصاویر میکروسکوپ الکترونی روبشی نشر میدانی (FESEM) (ku, Japan) گرفته شده است. پیشرفت واکنش‌ها توسط کروماتوگرافی لایه نازک (TLC) با استفاده از صفحه‌های سیلیکاژل شرکت مرک و از نوع Silica gel 60 F<sub>254</sub> بررسی شد. درکلیه گزارش‌های مربوط به طیف‌های  $^1\text{H}$  NMR، منظور از s (یکتایی)، d (دوتایی)، t (سه تایی)، q (چهارتایی)، quin (پنج تایی) و m (چندتایی) می‌باشد.

### ۲-۲- روش آزمایش

#### ۲-۲-۱- سنتز کاتالیزگر ناهمگن پلیمری بر پایه پلی (استایرن-کو-مالئیک اندیrid) دارای اتصالات عرضی ۳،۱-فنیلن دی‌آمین و فلزدار شده با نیکل سولفات شش آبه

پلی (استایرن-کو-مالئیک اندیrid) اتصال عرضی شده‌ی نیکل دار (CPSMA-Ni) در سه مرحله سنتز شد. در مرحله اول پلی (استایرن-کو-مالئیک اندیrid) با روش پلیمریزاسیون رادیکالی از مونومرهای استایرن و مالئیک اندیrid با نسبت مولی ۱:۱ و با استفاده از آغازگر آزو بیس ایزو بوتیرو نیتریل در حلal تترا هیدروفوران براساس روش گزارش شده در مقالات تهیه شد [۱۶]. در مرحله دوم برای ایجاد اتصالات عرضی، در یک بالن ۱۰۰ میلی لیتری، ۳ گرم پلی (استایرن-کو-مالئیک اندیrid) و ۵۰ میلی لیتر تترا هیدروفوران به مدت ۱۵ دقیقه با همزن مغناطیسی همzده شد تا کاملاً حل شود. سپس محلولی از ۱،۳-فنیلن دی‌آمین (۱/۵ گرم (۱۴ میلی‌مول) در ۱۰ میلی لیتر تترا هیدروفوران) به آن اضافه شد و پس از آن ۱/۰۴ میلی لیتر (۷/۵ میلی‌مول) تری اتیل آمین به صورت قطره قطره به محلوت واکنش افزوده شد و محلوت در دمای ۷۸°C تحت گاز نیتروژن به مدت ۵ ساعت باز تقطیر شد. در نهایت رسوب حاصل شده با کاغذ صافی جدا شده و با متانول شستشو داده شد و در دمای ۵۰°C درجه سانتیگراد خشک گردید.

در مرحله سوم، ۴ گرم از کوپلیمر اتصال عرضی شده و ۲ گرم نیکل سولفات شش آبه در ۵۰ میلی لیتر مтанول به مدت ۱۰ ساعت باز تقطیر شد و رسوب به کمک کاغذ صافی جدا شد و به منظور خارج کردن نیکل سولفات اضافه یک مرتبه با آب و یک مرتبه با متانول کاملاً شستشو داده شد.

۲-۲-۲- سنتز مشتقات ۲-آمینو-۵-اکسو-۴-آریل-۷،۸-تراهیدرو-۴-کروم-۳-کربونیتریل در مجاورت

کاتالیزگر پلیمری ناهمنگن نیکل دار

مخلوطی از مشتق آلدھید (۱ میلی مول)، مالونونیتریل (۱ میلی مول)، دیمدون یا ۱ و ۳ سیکلو هگزان دی اون (۱ میلی مول)، کاتالیزگر CPSMA-Ni (۰/۰۵ گ) و ۳ میلی لیتر حلال اتانول در یک بالن ته‌گرد ۲۵ میلی لیتری با هم مخلوط شدند و بالن در حمام روند در دمای  $50^{\circ}\text{C}$  قرار داده شد. مخلوط واکنش در طول واکنش همزده شد. پیشرفت واکنش توسط TLC (با فاز متحرک اتیل استات : n-هگزان با نسبت ۲ : ۸) دنبال شد. پس از اتمام واکنش، مخلوط واکنش در اتانول داغ حل شد و کاتالیزگر به وسیله‌ی کاغذ صافی جدا شد. شستشوی کاتالیزگر توسط اتانول داغ تا اطمینان از جدا شدن فرآورده از کاتالیزگر ادامه داشت. سرانجام فرآورده با روش تبلور مجدد در اتانول خالص سازی شد.

۳-۲-۲- تهیه مشتقات ۲-آمینو-۳-سیانو-۷-هیدروکسی-۴-[بنزو(e)کروم] در حضور کاتالیزگر پلیمری ناهمنگن

#### CPSMA-Ni

مخلوطی از مشتق آلدھید (۱ میلی مول)، مالونونیتریل (۱ میلی مول)، رزورسینول (۱ میلی مول)، کاتالیزگر CPSMA-Ni (۰/۰۶ گرم) و ۵ میلی لیتر آب و اتانول به نسبت ۱:۱در یک بالن ته‌گرد ۲۵ میلی لیتری با هم مخلوط شدند و بالن در حمام روند در دمای  $100^{\circ}\text{C}$  قرار داده شد. مخلوط واکنش در طول واکنش همزده شد. پیشرفت واکنش توسط TLC (با فاز متحرک اتیل استات : n-هگزان با نسبت ۲ : ۸) دنبال شد. پس از اتمام واکنش، حلال (آب و اتانول) به کمک دما تبخیر شد پس از تبخیر حلال به منظور حل شدن محصول به مخلوط واکنش ۵ میلی لیتر اتانول اضافه شد و کاتالیزگر به وسیله‌ی کاغذ صافی جدا شد. و در پایان فرآورده با روش تبلور مجدد در اتانول خالص سازی شد.

۴-۲-۲- تهیه مشتقات ۲-آمینو-۳-سیانو-۴-[بنزو(e)کروم] در حضور کاتالیزگر پلیمری ناهمنگن

مخلوطی از مشتق آلدھید (۱ میلی مول)، مالونونیتریل (۱ میلی مول)، ۱-نفتول یا ۲-نفتول (۱ میلی مول)، کاتالیزگر CPSMA-Ni (۰/۰۶ گرم) و ۵ میلی لیتر آب و اتانول به نسبت ۱:۱در یک بالن ته‌گرد ۲۵ میلی لیتری با هم مخلوط شدند و بالن در حمام روند در دمای  $100^{\circ}\text{C}$  قرار داده شد. مخلوط واکنش در طول واکنش همزده شد. پیشرفت واکنش توسط TLC (با فاز متحرک اتیل استات : n-هگزان با نسبت ۲ : ۸) دنبال شد. پس از اتمام واکنش، حلال (آب و اتانول) به کمک دما تبخیر شد پس از تبخیر حل شدن محصول به مخلوط واکنش ۵ میلی لیتر اتانول اضافه شد و کاتالیزگر به وسیله‌ی کاغذ صافی جدا شد. و در نهایت فرآورده با روش تبلور مجدد در اتانول خالص سازی شد.

## ۲-۲-۵- داده های طیفی برخی فرآورده ها

۲- آمینو-۴-(۴-نیتروفنیل)-H<sup>4</sup>-کروم-۳-کربونیتریل (4e)

Solid m.p. 237-238°C(Rep. 235-236°C) [17]; FTIR (KBr)  $\nu_{\text{max}}/\text{cm}^{-1}$ , 3403, 3324 (NH<sub>2</sub>), 3016 (CH aromatic), 2962 (CH), 2190 (C≡N), 1610(C=C), 1102(C-O), <sup>1</sup>H NMR(400 MHz, DMSO-d<sub>6</sub>):  $\delta$  = 5.16(s, 1H, benzilic), 7.11(d, 1H,  $J$ =8Hz, aromatic), 7.36 (br, 2H, NH<sub>2</sub>) , 7.54-7.68 (m, 5H, aromatic), 7.91 (d, 1H,  $J$ =8 Hz, aromatic), 8.20 (d, 1H,  $J$ =8 Hz, aromatic), 8.27(d, 1H,  $J$ =8 Hz, aromatic)ppm.

۲- آمینو-۴-(فوران-۲-ایل)-H<sup>4</sup>- بنزو[h]کروم-۳-کربونیتریل (4h)

Solid m.p. 167-169°C(Rep. 167-168 °C) [17]; FTIR (KBr)  $\nu_{\text{max}}/\text{cm}^{-1}$ , 3418, 3311 (NH<sub>2</sub>), 3012 (CH aromatic), 2981 (CH), 2193(C≡N), 1620(C=C), 1115(C-O), <sup>1</sup>H NMR(400 MHz, DMSO-d<sub>6</sub>):  $\delta$  = 5.07(s, 1H, benzilic), 6.27(d, 1H, aromatic), 6.38(d, 1H,  $J$ =4 Hz, aromatic), 7.24-7.26 (m, 3H, aromatic), 7.53-7.69 (m, 4H, aromatic), 7.93(d, 1H,  $J$ =8 Hz, aromatic), 8.22(d, 1H,  $J$ =8 Hz, aromatic)ppm.

۳- آمینو-۱-(۲-کلروفنیل)-H<sup>1</sup>-بنزو[h]کروم-۲-کربونیتریل (4j)

Solid m.p. 269-272 °C (Rep. 270-271°C) [17]; FTIR (KBr)  $\nu_{\text{max}}/\text{cm}^{-1}$ , 3395, 3328 (NH<sub>2</sub>), 3010 (CH aromatic), 2981 (CH), 2194 (C≡N), 1609, 1106, <sup>1</sup>H NMR(400 MHz, DMSO-d<sub>6</sub>):  $\delta$  = 5.72(s, 1H, benzilic), 6.94-7.04 (m, 1H, aromatic), 7.09 (br, 2H, NH<sub>2</sub>) , 7.18-7.20 (m, 2H, aromatic), 7.35 (d, 1H,  $J$ =8 Hz, aromatic), 7.41-7.50 (m, 3H, aromatic), 7.63 (d, 1H,  $J$ =12 Hz, aromatic), 7.93-7.98 (m, 2H, aromatic)ppm.

۲- آمینو-۷،۷-دی متیل-۵-اکسو-۴-فنیل-۸،۸-تتراهیدرو-۴-کروم-۳-کربونیتریل (6a)

Solid, m.p. 230-233 °C (Rep. 230-231°C) [17]; FTIR (KBr)  $\nu_{\text{max}}/\text{cm}^{-1}$ : 3395, 3324 (NH<sub>2</sub>), 3028 (CH, aromatic), 2960 (CH), 2199 (C≡N), 1679 (C=O), 1604 (C=C), 1139(C-O), <sup>1</sup>H NMR(400 MHz, DMSO-d<sub>6</sub>):  $\delta$  = 0.94 (s, 3H, CH<sub>3</sub>), 1.03 (s, 3H, CH<sub>3</sub>), 2.09 (d, 1H,  $J$ =16 Hz, CH<sub>2</sub>), 2.25 (d, 1H,  $J$ =16 Hz, CH<sub>2</sub>), 2.46-2.56, (m, 2H, CH<sub>2</sub>), 4.174 (s, 1H, benzilic), 7.01 (br, 2H, NH<sub>2</sub>), 7.13-7.19 (m, 3H, aromatic), 7.26-7.29 (m, 2H, aromatic) ppm.

۲- آمینو ۷ و ۷-دی متیل ۵-اکسو-۴-(۴،۴،۵،۵-تری متوكسی فنیل)-H<sup>4</sup>-کروم-۳-کربونیتریل (6e)

Solid, m.p. 230-233 °C(Rep. 234-235°C) [27]; FTIR (KBr)  $\nu_{\text{max}}/\text{cm}^{-1}$ : 3392, 3328 (NH<sub>2</sub>), 3017 (CH, aromatic), 2989 (CH), 2193 (C≡N), 1674 (C=O), 1139(C-O), <sup>1</sup>H NMR(300 MHz, DMSO-d<sub>6</sub>):  $\delta$  = 1.01 (s, 3H, CH<sub>3</sub>), 1.04 (s, 3H, CH<sub>3</sub>), 2.16 (d, 1H,  $J$ =16.2 Hz, CH<sub>2</sub>), 2.25 (d,

1H,  $J=16.2$  Hz, CH<sub>2</sub>), 2.49-2.55, (m, 2H, CH<sub>2</sub>), 3.65 (s, 3H, OCH<sub>3</sub>), 3.74 (s, 6H, OCH<sub>3</sub>), 4.17 (s, 1H, benzilic), 6.14(s.2H, aromatic), 7.01 (br, 2H, NH<sub>2</sub>) ppm.

(6j) -۲-آمینو-۴-(فلوروفنیل)-۵-اکسو-۷،۸-تراهیدرو-۴-کروم-۳-کربونیتریل

Solid, m.p. 223-225 °C(Rep. 224-225°C) [22]; FTIR (KBr)  $\nu_{\text{max}}/\text{cm}^{-1}$ : 3396, 3323 (NH<sub>2</sub>), 3012(CH, aromatic), 2989 (CH), 2196 (C≡N), 1674 (C=O), 1139(C-O), <sup>1</sup>H NMR(300 MHz, DMSO-d<sub>6</sub>): 1.89-2.02, (m, 2H, CH<sub>2</sub>), 2.21-238, (m, 2H, CH<sub>2</sub>), 2.52-2.68, (m, 2H, CH<sub>2</sub>), 4.24(s, 1H, benzilic), , 7.05 (br, 2H, NH<sub>2</sub>), 7.07-7.15(m,2H, aromatic), 7.19-7.24(m.2H, aromatic) ppm.

(6k) -۳-آمینو-۴-(نیتروفنیل)-۵-اکسو-۷،۸-تراهیدرو-۴-کروم-۳-کربونیتریل

223-225 °C(Rep. 224-225°C) [22]; FTIR (KBr)  $\nu_{\text{max}}/\text{cm}^{-1}$ : 3388, 3339 (NH<sub>2</sub>), 3009(CH, aromatic), 2991 (CH), 2195 (C≡N), 1689 (C=O), 1130(C-O), <sup>1</sup>H NMR (300 MHz, DMSO-d<sub>6</sub>): 1.88-2.02, (m, 2H, CH<sub>2</sub>), 2.22-238, (m, 2H, CH<sub>2</sub>), 2.63-2.66, (m, 2H, CH<sub>2</sub>), 4.45(s, 1H, benzilic), , 7.20 (br, 2H, NH<sub>2</sub>), 7.61 (t,1H,  $J=7.8$ Hz, aromatic), 7.70 (d,1H,  $J=7.8$ Hz, aromatic) 8.02-8.10(m.2H, aromatic) ppm.

(6l) -۲-آمینو-۴-(هیدرکسی فنیل)-۵-اکسو-۷،۸-تراهیدرو-۴-کروم-۳-کربونیتریل

Solid, m.p. 245-247 °C(Rep. 244-246°C) [22]; FTIR (KBr)  $\nu_{\text{max}}/\text{cm}^{-1}$ : 3386, 3337 (NH<sub>2</sub>), 3011(CH, aromatic), 2992 (CH), 2193 (C≡N), 1688 (C=O), 1131(C-O), <sup>1</sup>H NMR(300 MHz, DMSO-d<sub>6</sub>): 1.84-1.99, (m, 2H, CH<sub>2</sub>), 2.25-230, (m, 2H, CH<sub>2</sub>), 2.60-2.62, (m, 2H, CH<sub>2</sub>), 4.11(s, 1H, benzilic), 7.71 (d,1H,  $J=8.4$ Hz, aromatic), 6.93-6.98(m.4H, aromatic), 9.27(br, 1H, OH) ppm.

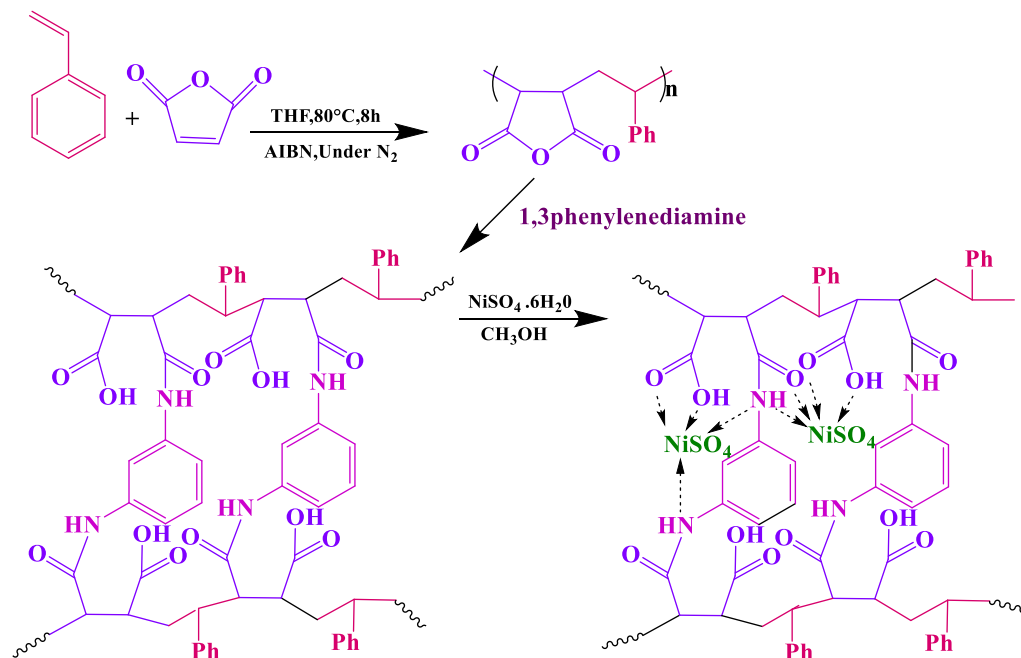
(8c) -۲-آمینو-۴-(دی کلروفنیل)-۵-هیدرکسی-۴-کروم-۳-کربونیتریل

Solid, m.p. 255-257 °C(Rep. 256-258°C) [20]; FTIR (KBr)  $\nu_{\text{max}}/\text{cm}^{-1}$ : 3498, 3403, 3324 (NH<sub>2</sub>), 3015(CH, aromatic), 2990 (CH), 2196 (C≡N), 1613(C=C), 1131(C-O), <sup>1</sup>H NMR (400 MHz, DMSO-d<sub>6</sub>): 5.14(s, 1H, benzilic), 6.42 (d, 1H, aromatic), 6.49(q, 1H,  $J=4$ Hz, aromatic), 6.72(d, 1H,  $J=12$ Hz, aromatic), 7.01(br, 1H, NH<sub>2</sub>), 7.22(d, 1H,  $J=8$ Hz, aromatic), 7.40(q, 1H,  $J=4$ Hz, aromatic), 7.59(d,1H, aromatic) ppm.

### ۳-بحث و نتیجه گیری

استفاده از پلیمرها به عنوان یک کاتالیزگر ناهمگن برای سنتز ترکیبات آلی به دلیل وجود گروههای عاملی فراوان در زنجیرههای پلیمری آنها توسعه یافته است، در این پژوهه از کوبولیمر اصلاح شده CPSMA-Ni به عنوان نانوکاتالیست کارآمد برای سنتز

مشتقات گوناگونی از کرومین‌ها استفاده گردید. مراحل سنتز کوپلیمر اصلاح شده CPSMA-Ni در طرح ۱ نشان داده شده است.



طرح ۱: مراحل سنتز کوپلیمر اصلاح شده CPSMA-Ni

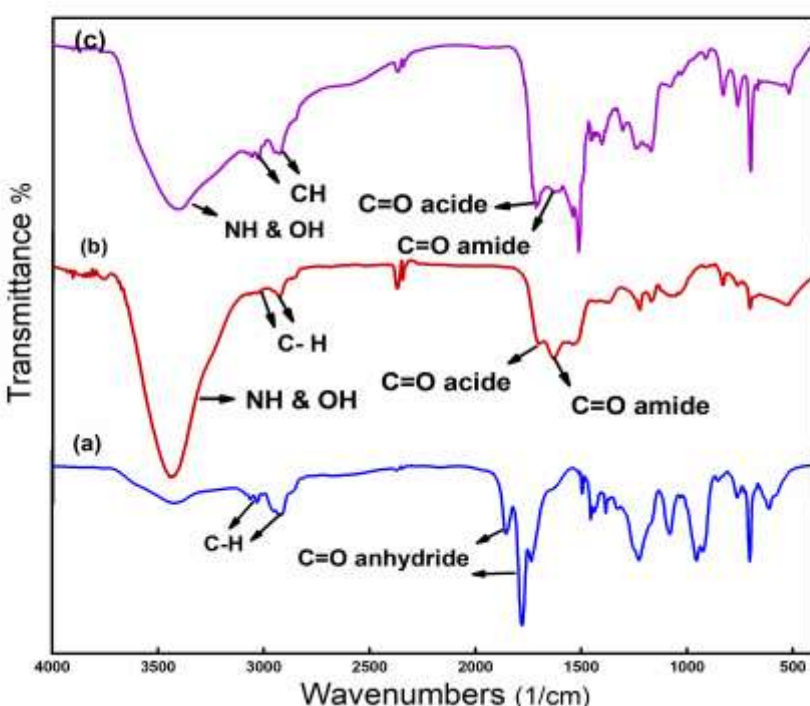
همانگونه که در طرح ۱ آمده است کوپلیمر اصلاح شده در سه مرحله سنتز گردید. ابتدا پلی (استایرن-کو-مالئیک انیدرید) حاوی گروههای عاملی فعال انیدریدی با روش پلیمریزاسیون رادیکالی از مونومرهای استایرن و مالئیک انیدرید با نسبت مولی ۱:۱ و با استفاده از آغازگر آزو بوتیرو نیتریل در حلal تترا هیدروفوران براساس روش گزارش شده در مقالات تهیه شد [۱۶]. در مرحله دوم به جهت کاهش حلایت پلیمر در حلایهای آلی از ایجاد اتصالهای عرضی با استفاده از ۳،۱-فنیلن دی آمین در واکنش با گروههای انیدریدی استفاده شد و در مرحله نهایی به جهت اصلاح کاتالیزور و تقویت خصلت کاتالیزگری، پلیمر اتصال عرضی شده با نیکل سولفات ۶ آبه واکنش داده شد که در آن با کمپلکسی که بین یون نیکل با گروههای عاملی نیتروژندار و اکسیژندار موجود در کوپلیمر این یون روی پلیمر ثبت شد به طوری که از طریق شستشو با حلایهای مختلف تغییری در میزان نیکل موجود از طریق انحلال در این حلایهای ایجاد نشد. کوپلیمر اصلاح شده با روشهای زیر شناسایی گردید.

### ۱-۳- شناسایی و بررسی ساختار کاتالیزگر CPSMA-Ni

پس از سنتز کاتالیزگر برای شناسایی آن از روشهای مختلف طیف سنجی استفاده شده که در این بخش به این روشها می پردازیم.

### ۱-۱-۳- بررسی طیف تبدیل فوریه مادون قرمز (FTIR)

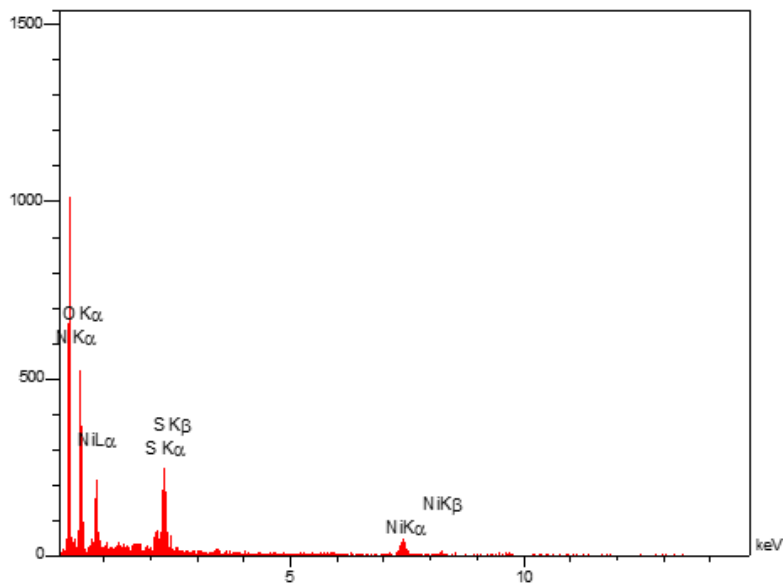
طیف های FTIR مربوط به (a) پلی(استایرن-کو-مالئیک اسیدرید)، (b) کوپلیمر اتصال عرضی شده و (c) کوپلیمر اتصالات عرضی شده نیکل دار در شکل ۱ نشان داده شده است. همانگونه که مشاهده می شود در طیف مربوط به پلی(استایرن-کو-مالئیک اسیدرید) (a) ارتعاشات کششی بالاتر از  $3000\text{ cm}^{-1}$  مربوط به C-H حلقه فنیلی، ارتعاشات کششی نامتقارن و متقارن  $1775\text{ cm}^{-1}$  و ارتعاشات کششی  $1850\text{ cm}^{-1}$  و  $1775\text{ cm}^{-1}$  در محدوده  $\text{C=O}$  گروه اسیدریدی به ترتیب در محدوده  $1200\text{ cm}^{-1}$  ظاهر شده است. حذف ارتعاشات کششی  $\text{C=O}$  اسیدریدی در طیف مربوط به پلیمر دارای اتصالات عرضی، نشان دهنده باز شدن حلقه اسیدرید است. علاوه بر این ظاهر شدن یک قله در ناحیه  $3200\text{ cm}^{-1}$  مربوط به ارتعاشات کششی N-H آمیدی است که با ارتعاشات کششی O-H اسیدی همپوشانی کرده است. وجود یک قله در ناحیه  $1650\text{ cm}^{-1}$  مربوط به ارتعاشات کششی  $\text{C=O}$  آمیدی، نشان دهنده ایجاد اتصال عرضی در ساختار پلیمر می باشد. در طیف (c) که مربوط به مرحله سوم تهیه کاتالیزگر است، به دلیل کوئوردینه شدن نیکل با گروه های کربونیل و نیتروژن آمیدی و اکسیژن گروه های اسیدی نوار جذبی آنها کاهش پیدا می کند. که آن را می توان دلیلی بر اصلاح و اتصال نیکل کاتیونی به اکسیژن های این گروه ها دانست.



شکل ۱: طیف مادون قرمز (a) پلی(استایرن-کو-مالئیک اسیدرید)، (b) کوپلیمر اتصال عرضی شده و (c) کوپلیمر اتصالات عرضی شده نیکل دار

### ۲-۱-۳- طیفسنجی پراش انرژی پرتو ایکس (EDX)

به منظور تایید حضور نیکل در ساختار کاتالیزگر و درصد ترکیب دیگر عناصر سازندهی کاتالیزگر از طیفسنجی پراش انرژی پرتو ایکس (EDX) استفاده شد (شکل ۲). قله های مربوط به عناصر نیکل، گوگرد، نیتروژن، اکسیژن و کربن در شکل ۲ دیده می شود. همچنان درصد عناصر تشکیل دهندهی کاتالیزگر CPSMA-Ni در جدول ۱ نشان داده شده است. نتایج جدول ۱ و شکل ۲ حکایت از سنتز موفقیت آمیز این کاتالیزگر پایه پلیمری دارد.



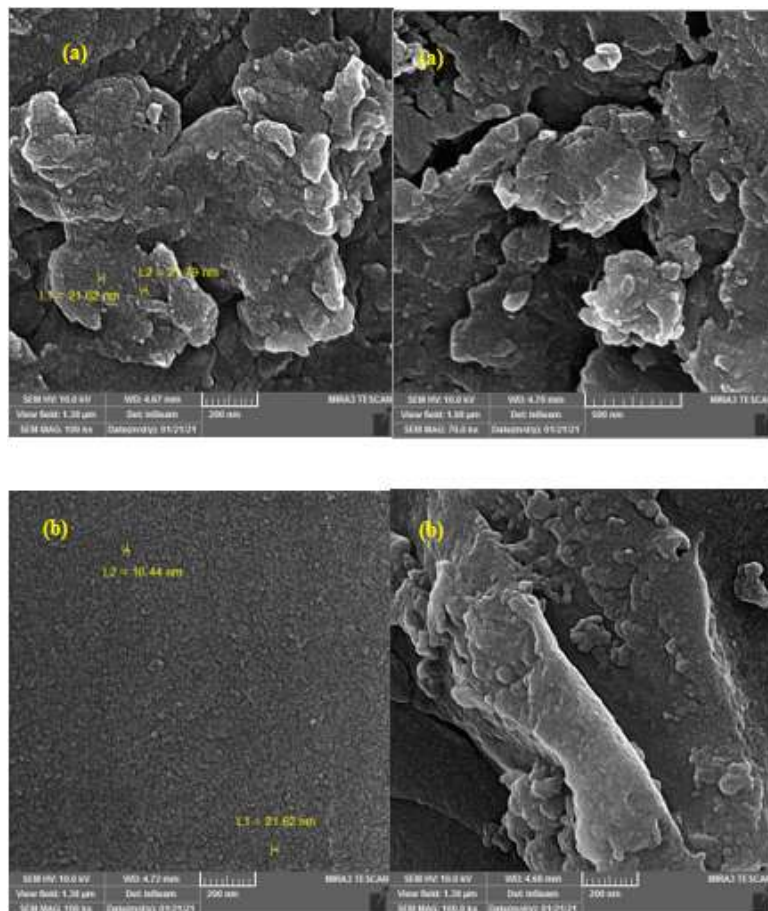
شکل ۲: طیفسنجی پراش انرژی پرتو ایکس (EDX) کاتالیزگر CPSMA-Ni

جدول ۱: داده های به دست آمده از طیفسنجی پراش انرژی پرتو ایکس (EDX) مربوط به کاتالیزگر CPSMA-Ni

Elements	W%	A %
C	49.92	0.2328
N	10.67	0.0135
O	31.96	0.0631
S	2.77	0.0236
Ni	4.68	0.0356
Total	100.00	0.3687

### ۳-۱-۳- میکروسکوپ الکترونی روبشی نشر میدانی - (FESEM)

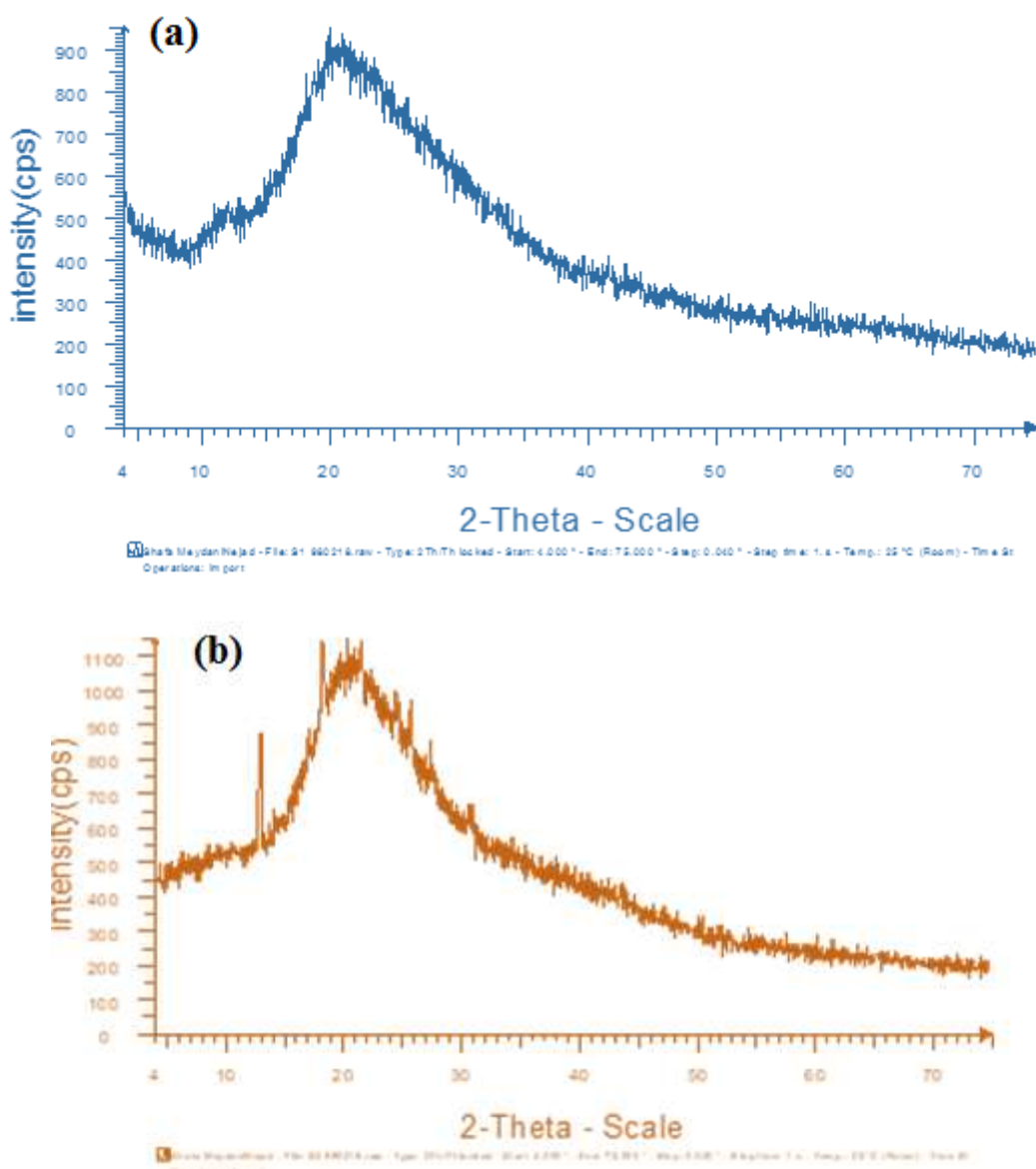
برای مطالعه ریخت ساختاری کاتالیزگر از تصاویر FESEM استفاده شد. شکل ۳، تصاویر FESEM مربوط به پلی (استایرن-کو-مالئیک انیدرید) (a) و کاتالیزگر اتصال عرضی شده نیکل دار (b) با بزرگ نمایی ۲۰۰ و ۵۰۰ نانومتر را نشان می دهد. مقایسه تصاویر حکایت از تغییر در ریخت کوپلیمر قبل و بعد از اصلاح دارد بطوری که اندازه متوسط ذرات کوپلیمر قبل و بعد اصلاح به ترتیب ۱۰۰ و ۱۳۰ نانومتر می باشند.



شکل ۳ : تصاویر FESEM پلی (استایرن-کو-مالئیک انیدرید) (a) و کاتالیزگر اتصال عرضی شده نیکل دار (b)

#### ۴-۱-۳ طیف پراش پرتو ایکس (XRD)

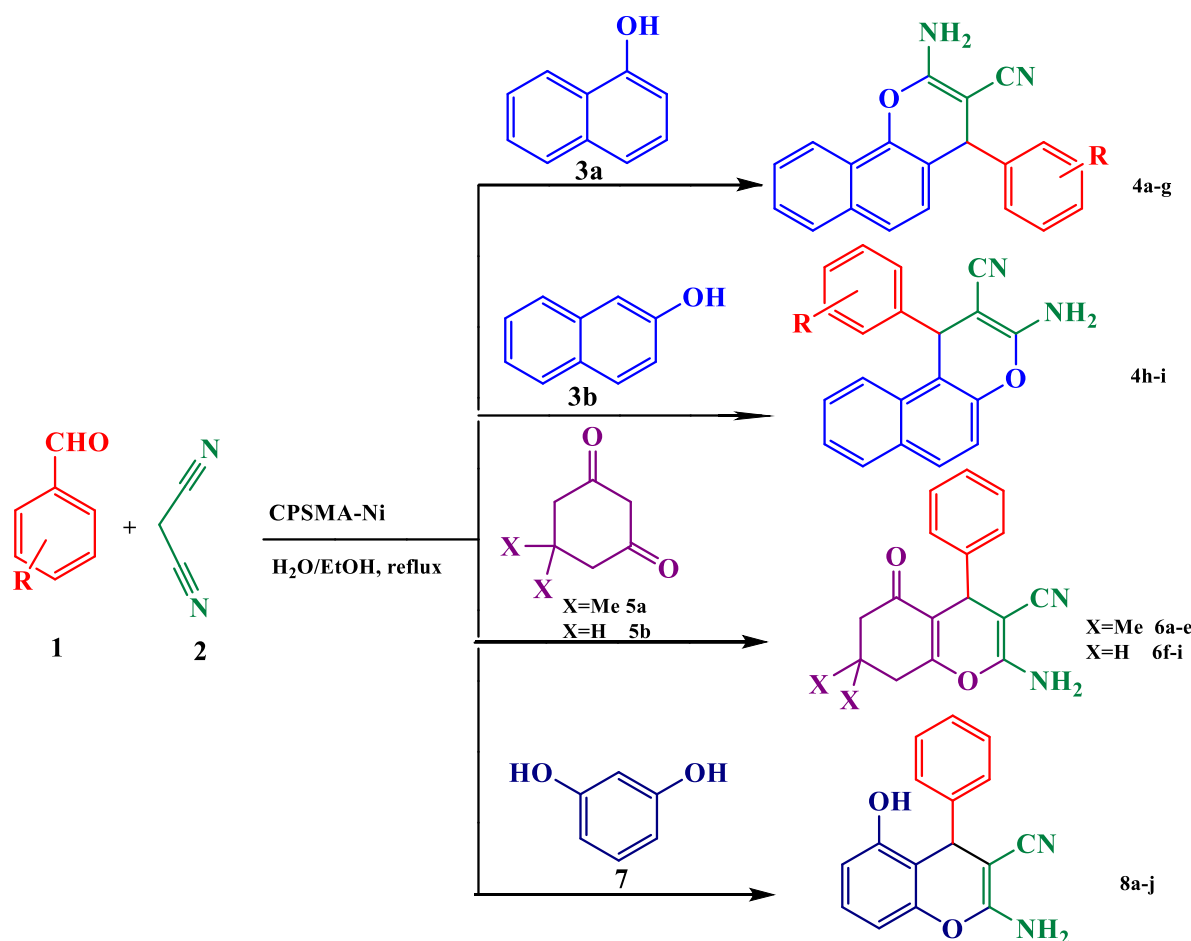
شکل ۴ الگوی پراش پرتو ایکس مربوط به پلی (استایرن-کو-مالئیک انیدرید) (a) و کاتالیزگر اتصال عرضی شده نیکل دار (b) را نشان می دهد. مقایسه الگوی پراش پرتو ایکس قبل و بعد از اصلاح کopolymer نشان می دهد که هیچ تغییری در ماهیت کopolymer رخ نداده است و کopolymer قبل و بعد از اصلاح ماهیت بی نظم دارد.



شکل ۴: طیف XRD پلی (استایرن-کو-مالئیک انیدرید) (a) و کاتالیزگر اتصال عرضی شده نیکل دار (b)

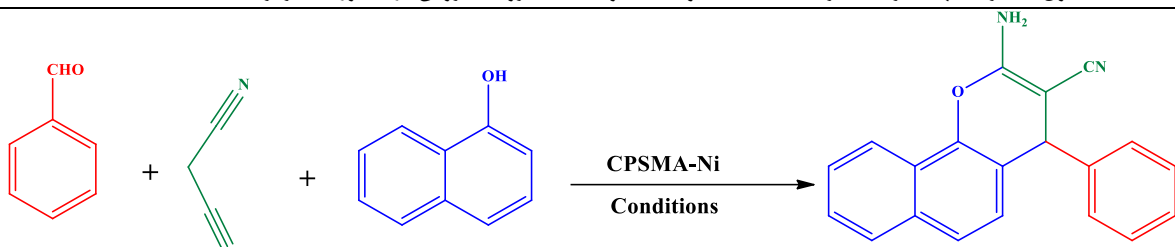
### ۳-۲-۳- ارزیابی خاصیت کاتالیزگری CPSMA-Ni در سنتز مشتقات گوناگون کروم

پس از شناسایی کاتالیزگر، فعالیت کاتالیزگری CPSMA-Ni برای سنتز مشتقات کرومین بررسی شد. سنتز کرومینها از واکنش بین مشتقات مختلف آلدهیدی و مالونونیتریل با نفتولها، رزورسینول و یا سیکلوهگزادی اونها در مجاورت کاتالیزگر CPSMA-Ni به سرانجام رسید. واکنشهای کلی در طرح ۲ آورده شده است.



طرح ۲: سنتز مشتقات مختلف کرومین در مجاورت کاتالیزگر

در ابتدا برای تهییه مشتقات مشتقات ۲-آمینو-۳-سیانو-۴-بنزو-[e]کرومین با استفاده از نفتولها، از بنزالدهید و آلفانفتول و مالونونیتریل در حضور مقداری مختلف کاتالیزگر، دما و حللاهای آب، اتانول، کلروفرم، تراهیدروفوران و شرایط بدون حلال برای به دست آوردن شرایط بهینه استفاده شد. که نتایج آن در جدول ۲ ارائه شده است. همانطور که در جدول ۲ مشاهده میشود بهترین نتیجه در دمای  $100^{\circ}\text{C}$  در حللا آب و اتانول با نسبت ۱:۱ و ۰/۰۶ گرم از کاتالیزگر تحت شرایط بازروانی به دست آمد.

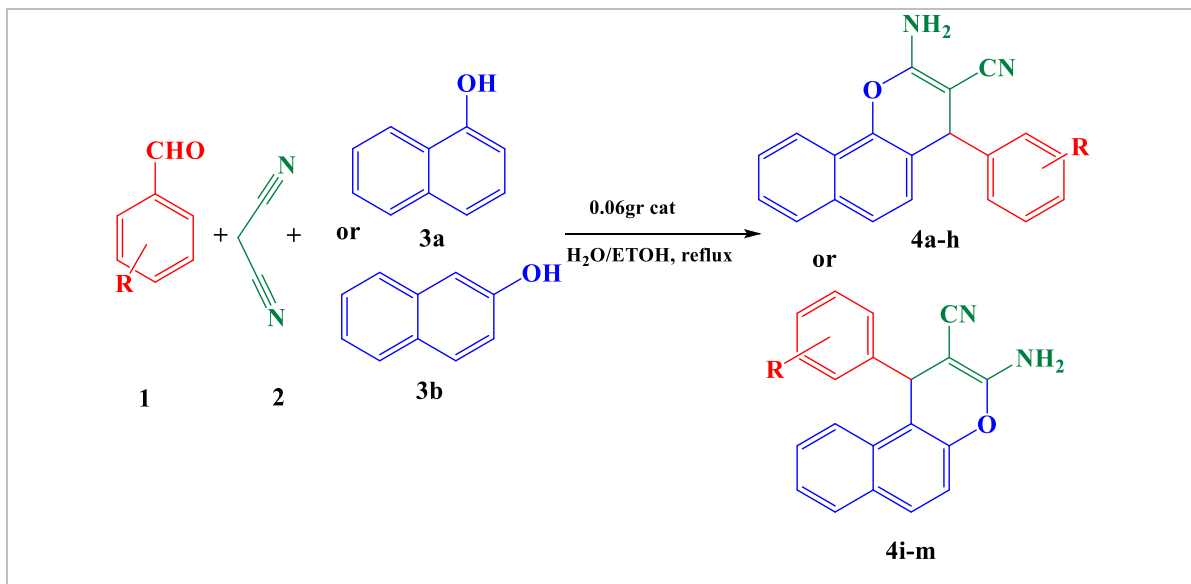
جدول ۲. شرایط بهینه برای سنتز مشتقات ۲-آمینو-۳-سیانو-۴-[بنزو[e][H]-کروم]CPSMA-Ni<sup>الف</sup>


ردیف	حلال	کاتالیزگر	دما/°C	زمان/h	بازده %
۱	اتanol	بازتقطیر	۰/۰۳	۸	۲۰
۲	آب	بازتقطیر	۰/۰۳	۸	۵۰
۳	تتراهیدروفوران	بازتقطیر	۰/۰۳	۸	۱۰
۴	(آب /اتanol) (1:1)	۰/۰۳	۱۰۰	۱:۳۰	۷۵
۵	کلروفرم	بازتقطیر	۰/۰۳	۸	۲۰
۶	-	۰/۰۳	۱۰۰	۸	۶۰
۷	(آب /اتanol) (1:1)	۰/۰۳	-	۸	۳۰
۸	(آب /اتanol) (1:1)	۰/۰۳	۸۰	۳:۳۰	۷۵
۹	(آب /اتanol) (1:1)	۰/۰۳	۰/۰۳	۱:۳۰	۷۵
۱۰	(آب /اتanol) (1:1)	۰/۰۵	۰/۰۳	۱:۲۰	۸۹
۱۱	(آب /اتanol) (1:1)	۰/۰۶	۰/۰۳	۱	۹۲

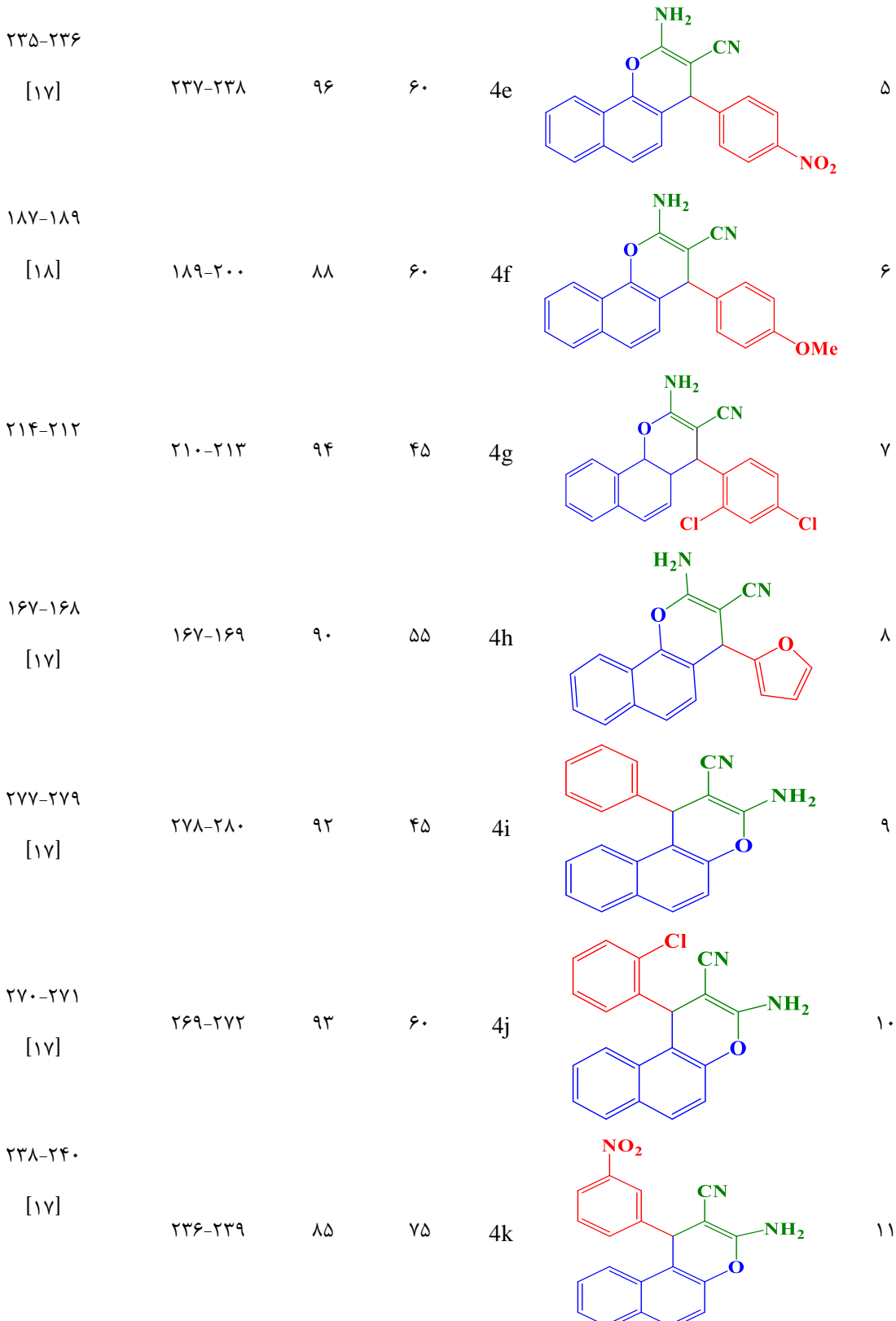
<sup>الف</sup> شرایط واکنش: از مشتق بنزاکسید (۱ mmol)، مالونونیتریل (۱ mmol)، ۱-نفتول (۱ mmol)، کاتالیزگر CPSMA-Ni و شرایط متفاوت ب بازده پس از جداسازی و خالص سازی بدست آمده است.

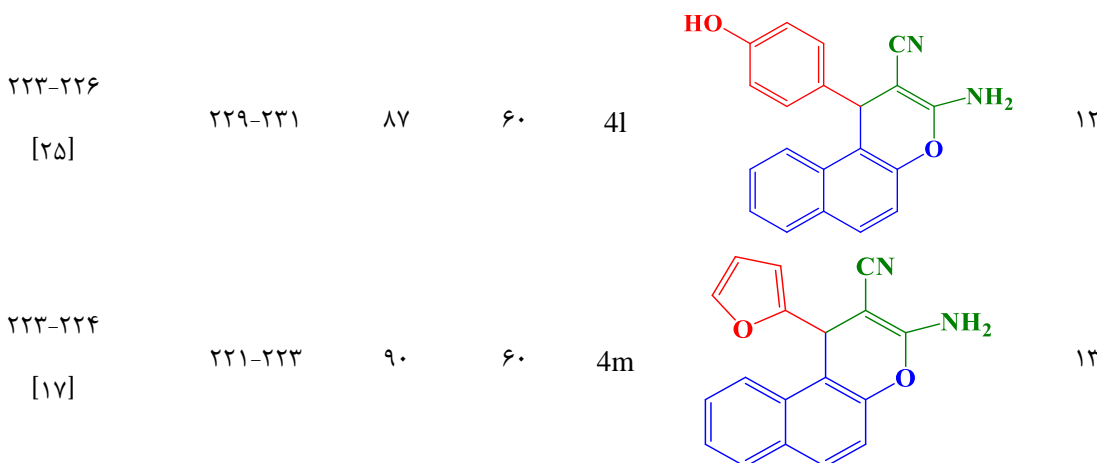
پس از به دست آوردن شرایط بهینه واکنش، مشتقات متفاوتی از ۲-آمینو-۳-سیانو-۴-[بنزو[e][H]-کروم]ها از طیف گوناگونی از آلدهیدها شامل گروه های کشنده و دهنده با بازده خوب تا عالی سنتز شد نتایج در جدول ۳ ارائه شده است همانطور که مشاهده میشود آلدهیدهای دارای گروه کشنده مثل گروه نیترو (مانند ۴-نیترو) بازده بهتری نسبت به گروههای دهندهها داشته اند. از طرفی در این مطالعه مشخص شد بازده مشتقات تهیه شده از واکنش آلدهید، مالو نیتریل و ۱-نفتول بیشتر از آلدهید، مالو نیتریل و ۲-نفتول می باشد با توجه به نتایج آورده شده در جدول ۳ مشتق ردیف ۳ و ۴ تهیه شده با آلدهید ۳-نیترو و ۲-کلرو در واکنش با ۱ نفتول زمان کمتر و بازده بیشتری نسبت به مشتقات ردیف ۱۰ و ۱۱ که از آلدهید ۳-نیترو و ۲-کلرو در واکنش با ۲-نفتول تهیه شده‌اند دارند.

جدول ۳. سنتز مشتقات ۲-آمینو-۳-سیانو-۴-[بنزو [e]کرومون در حضور کاتالیزگر CPSMA-Ni



ردیف	فراورده الف	زمان (دقیقه)	بارده (درصد)	نقطه ذوب نقطه ذوب	گزارش شده
۱		۶۰	۹۵	۲۱۰-۲۱۲	۲۱۵-۲۱۸ [۱۷]
۲		۵۰	۹۰	۲۳۲-۲۳۴	۲۳۱-۲۳۲ [۱۷]
۳		۵۰	۹۲	۲۱۲-۲۱۴	۲۱۱-۲۱۲ [۱۷]
۴		۵۰	۹۴	۲۳۹-۲۴۲	۲۴۰-۲۴۱ [۱۸]





الف شرایط واکنش: از مشتق آلدهید (۱ mmol)، مالونونیتریل (۱ mmol)، ۱-نفتول یا ۲-نفتول (۱ mmol)، کاتالیزگر CPSMA-Ni (۰/۰۶ gr) و ۵ میلی لیتر آب و اتانول به نسبت ۱:۱ بازده پس از جداسازی و خالص سازی بدست آمده است.

در گام بعدی این پروژه فعالیت کاتالیستی CPSMA-Ni در واکنش سه جزیی دیمدون یا ۱و۳-سیکلوهگزان دی اون با انواع متفاوتی از آلدهیدهای آромاتیک و مالونونیتریل برای سنتز مشتقان دیگری از کروممنها بررسی شد. برای به دست آوردن شرایط بهینه، واکنش بنزاًلدهید با مالونونیتریل و دیمدون در شرایط دمایی و حللاهای متفاوت و مقادیر متفاوتی از کاتالیزگر بررسی شد. نتایج در جدول ۴ ارائه شده است.

جدول ۴. شرایط بهینه برای واکنش دیمدون، مالونونیتریل و بنزاًلدهید در حضور کاتالیزگر CPSMA-Ni<sup>الف</sup>

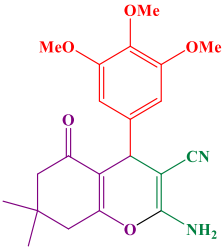
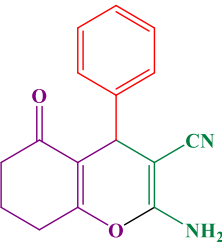
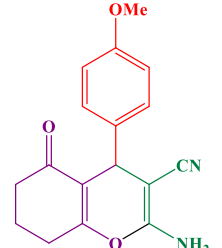
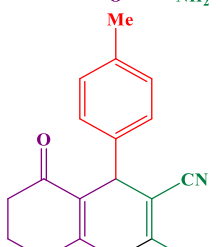
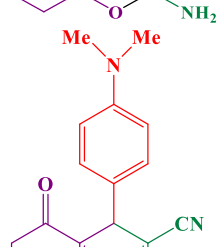
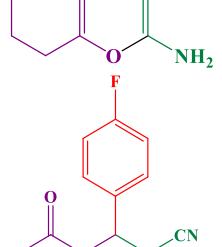
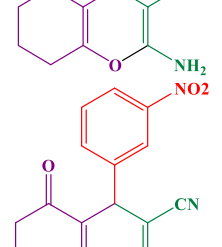
<sup>b</sup> بازده٪	دقیقه/زمان	دما/°C	کاتالیزگر	حلل	ردیف	cat	conditions
۹۰	۴۵	بازتقطیر	۰/۰۳	اتanol	۱		
۷۰	۹۰	بازتقطیر	۰/۰۳	آب	۲		
۵۰	۷۰	بازتقطیر	۰/۰۳	تتراهیدروفوران	۳		
۶۵	۵۵	بازتقطیر	۰/۰۳	کلروفرم	۴		
۶۰	۱۲۰	بازتقطیر	۰/۰۳	بدون حلل	۵		
۹۰	۳۵	۵۰	۰/۰۳	اتanol	۶		
۹۰	۳۵	۶۰	۰/۰۳	اتanol	۷		
۹۰	۳۰	۸۰	۰/۰۳	اتanol	۸		
۹۵	۲۰	۵۰	۰/۰۵	اتanol	۹		
۹۸	۱۵	۵۰	۰/۰۶	اتanol	۱۰		

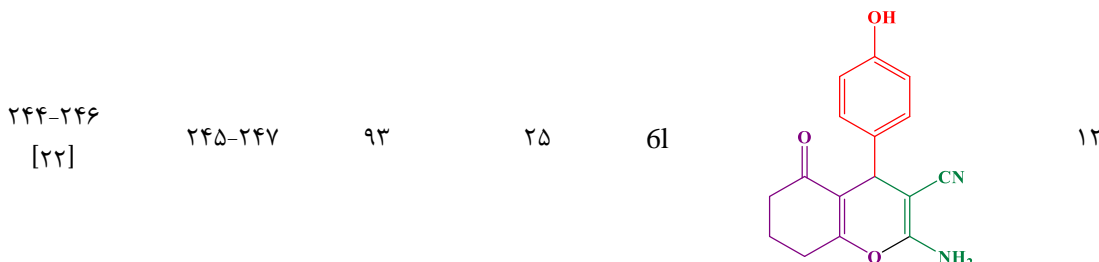
الف شرایط واکنش: از مشتق آلدهید (۱ mmol)، مالونونیتریل (۱ mmol)، دیمدون یا ۱و۳-سیکلوهگزان دی ان (۱ mmol)، کاتالیزگر CPSMA-Ni (۰/۰۶ gr) بازده پس از جداسازی و خالص سازی بدست آمده است.

این واکنش در مدت زمان کوتاه و بازده عالی با  $0.06\text{ gr cat}$  از کاتالیزگر CPSMA-Ni انجام شد. همانطور که در جدول ۵ مشاهده میشود واکنش در مدت زمان کوتاه و بازده عالی با طیف گسترهای از آلدهیدها، حاوی استخالف های الکترون کشنده و دهنده به فراورده ای مورد نظر تبدیل شده اند.

جدول ۵. مشتقات تراهیدروبنتو [b] پیرانها در حضور کاتالیزگر CPSMA-Ni

ردیف	فراورده الف	زمان (دقیقه)	بازده (%) درصد)	نقشه ذوب	نقشه ذوب	گزارش شده
۱		۱۵	۹۸	۲۳۰-۲۳۱	۲۳۰-۲۳۲	[۱۷]
۲		۱۵	۹۵	۲۱۸-۲۲۰	۲۲۳-۲۲۵	[۲۶]
۳		۱۰	۹۴	۲۱۰-۲۱۲	۲۱۰-۲۱۲	[۲۸]
۴		۲۰	۹۲	۲۰۷-۲۰۷	۲۰۳-۲۰۵	[۲۱]
[b] پیرانها در حضور کاتالیزگر CPSMA-Ni						

۲۴۷-۲۴۹ [۲۷]	۲۴۷-۲۴۸	۹۵	۲۵	۶e		۵
۲۳۷-۲۳۹ [۲۱]	۲۳۳-۲۳۵	۹۴	۲۰	۶f		۶
۲۰۵-۲۰۷ [۲۱]	۲۰۳-۲۰۶	۹۲	۳۰	۶g		۷
۲۲۸-۲۲۹ [۲۱]		۹۰	۳۰	۶h		۸
۲۲۵-۲۲۶ [۲۱]				۶i		۹
۲۲۳-۲۲۴ [۲۱]		۸۶		۶j		۱۰
۲۲۴-۲۲۵ [۲۲]	۲۲۳-۲۲۵	۹۲	۱۵	۶k		۱۱



الف شرایط واکنش: از مشتق آلدهید (۱ mmol)، مالونونیتریل (۱ mmol)، دیمدون یا ۱-سیکلوهگزان دی ان (۱ mmol)، کاتالیزگر CPSMA-Ni و ۳ میلی لیتر اتانول در دمای ۵°C، ۲ بارده پس از جداسازی و خالص سازی بدست آمده است.

همانگونه که از نتایج جدول ۵ مشاهده می شود تفاوت زیادی بین واکنشگری سیکلوهگزادی اون و دیمدون وجود ندارد و آلدهیدهای مختلف واکنش پذیری خوبی در این واکنش نشان داده اند و فراورده های کرومینی را با بازده بالا تولید کرده اند. در بخش بعدی بررسی خاصیت کاتالیزگری CPSMA-Ni در واکنش سه جزئی یک ترکیب فعال فنلی دیگر نظری رزورسینول با آلدهیدهای آромاتیک و مالونونیتریل بررسی شد. شرایط بهینه برای سنتز مشتقات ۲-آمینو-۳-سیانو-۷-هیدروکسی-۴-بنزو[e]کرومین در حضور کاتالیزگر CPSMA-Ni در جدول ۶ آورده شده است.

جدول ۶ شرایط بهینه برای سنتز مشتقات ۲-آمینو-۳-سیانو-۷-هیدروکسی-۴-بنزو[e]کرومین در حضور کاتالیزگر CPSMA-Ni

ردیف	حلال	کاتالیزگر	دما /°C	زمان /h	بازده % <sup>b</sup>	۱	۷	۲	cat condition
۱	اتanol	بازقطیر	۰/۰۳	۶	۳۰				
۲	آب	بازقطیر	۰/۰۳	۶	۵۰				
۳	تتراهیدروفوران	بازقطیر	۰/۰۳	۶	-				
۴	(۱:۱) آب / اتانول	بازقطیر	۰/۰۳	۱:۳۰	۷۰				
۵	کلروفرم	بازقطیر	۰/۰۳	۶	۱۰				
۶	-	۱۰۰	۰/۰۳	۶	۴۰				
۷	(۱:۱) آب / اتانول	-	۰/۰۳	۶	۲۰				
۸	(۱:۱) آب / اتانول	۸۰	۰/۰۳	۴	۶۰				
۹	(۱:۱) آب / اتانول	بازقطیر	۰/۰۵	۱:۱۰	۸۵				
۱۰	(۱:۱) آب / اتانول	۰/۰۶	۰/۰۶	۴۵ min	۹۰				

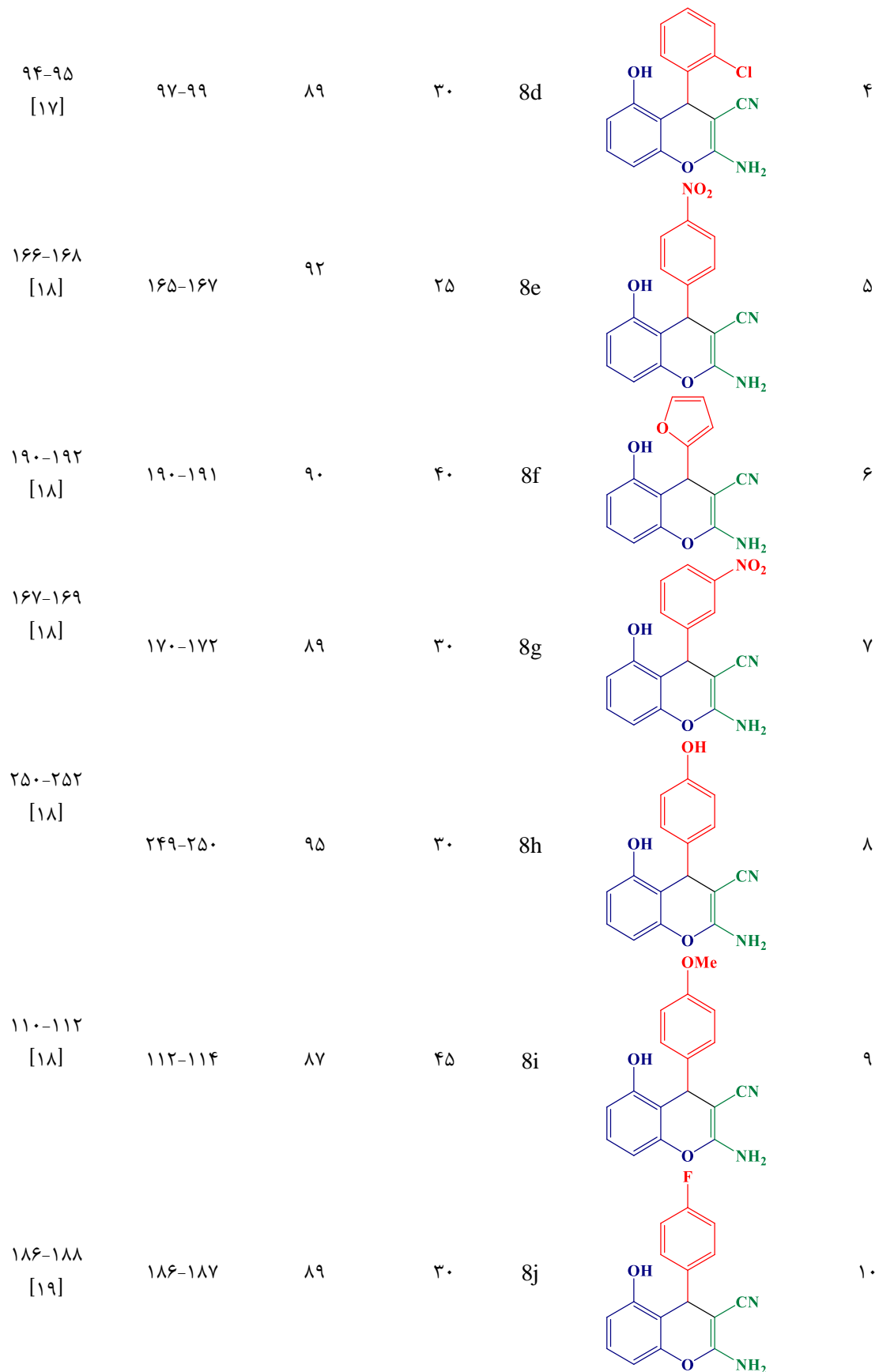
شرایط واکنش: از مشتق بنزآلدهید (۱ mmol)، مالونونیتریل (۱ mmol)، رزورسینول (۱ mmol)، کاتالیزگر CPSMA-Ni و شرایط متفاوت. ۲ بارده پس از جداسازی و خالص سازی بدست آمده است.

همانگونه که در جدول ۶ مشهود است شرایط بهینه شامل مقدار کاتالیزور ۰/۰۶ گرم، حلal آب و اتانول نسبت یک به یک، دمای تقطیر برگشتی و نسبت مساوی مولی ۱:۱:۱ از مواد اولیه می باشد. این مشتقات مانند مشتقات ۲-آمینو-۳-سیانو-۴-[بنزو [e]کروم من برای انجام واکنش در زمان کمتر نیاز به دمای بالا و حلal آب و اتانول به نسبت ۱:۱ دارد و واکنش در غیاب کاتالیزگر در زمان طولانی هم انجام نشد.

با توجه به این شرایط و با استفاده از آلدھیدهای متعدد واکنش انجام شده و در جدول ۷ مشتقات سنتز شدهی ۲-آمینو-۳-سیانو-۷-هیدروکسی-۴-[بنزو [e]کروم من ارایه شده است.

جدول ۷- سنتز مشتقات ۲-آمینو-۳-سیانو-۷-هیدروکسی-۴-[بنزو [e]کروم من در حضور کاتالیزگر CPSMA-Ni

ردیف	فراورده الف	زمان(دقیقه)	بازده $\eta$ (درصد)	نقطه ذوب گزارش شده	نقطه ذوب	۱
۱	۸a	۴۵	۹۰	۲۳۰-۲۳۱ [۱۷]	۲۲۸-۲۳۰	
۲	۸b	۲۵	۹۲	۲۰۸-۲۰۹ [۱۷]	۲۱۰-۲۱۱	
۳	۸c	۲۰	۹۵	۲۵۶-۲۵۸ [۲۰]	۲۵۵-۲۵۷	



شرایط واکنش (الف): از مشتق آلدید (۱ mmol)، مالونوئنتریل (۱ mmol)، رزورسینول (۱ mmol)، کاتالیزگر CPSMA-Ni (۰.۰۶ gr) و ۵ میلی لیتر آب و اتانول به نسبت ۱:۱ در شرایط باز تقطیر، بازده پس از جداسازی و خالص سازی بدست آمده است.

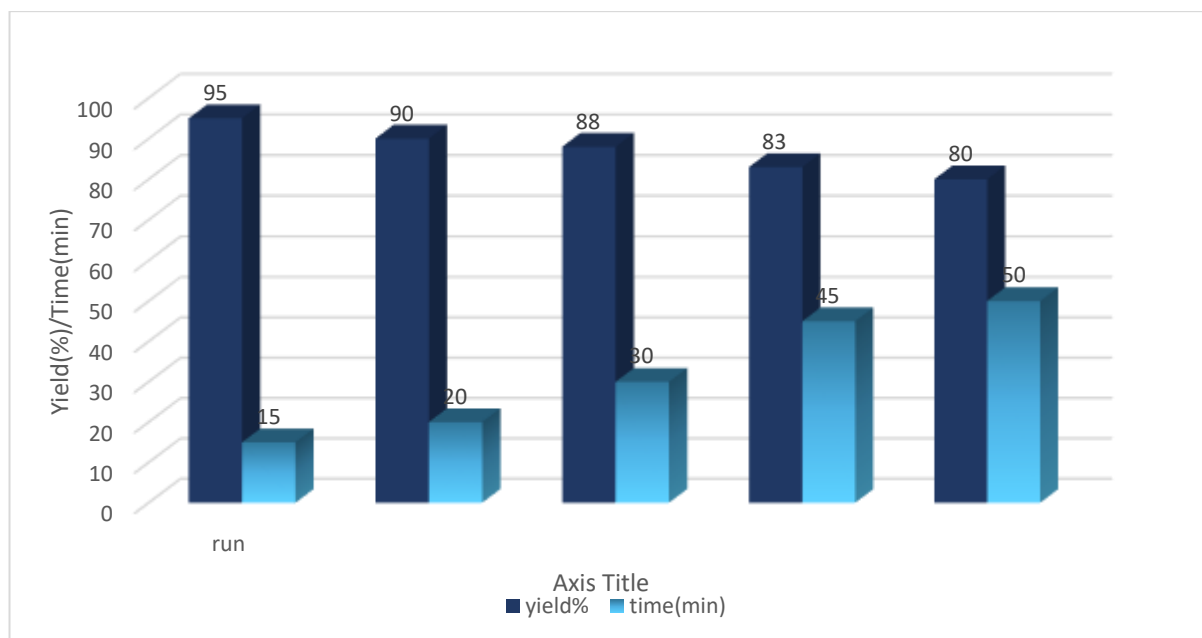
بر اساس نتایج جدول ۷، مشتقات دارای گروه های الکترون کشنده واکنش پذیری بیشتری دارند و بازده مناسب و شرایط ملایم از دیگر نتایج این جدول می باشد.

بررسی تاثیر کاتالیزگر در واکنشهای متعدد منجر به سنتز کروممنها نشان داد که این کاتالیزور قابلیت و کارآیی بالایی برای این واکنش دارد و می توان از آن برای سنتز کروممنها و سایر ترکیبات با ساختار مشابه بخوبی استفاده نمود.

### ۳-۳ بررسی قابلیت بازیابی کاتالیزگر و استفاده مجدد از آن

قابلیت بازیابی کاتالیزگر ناهمگن یک مسئله بسیار اساسی برای عملکرد آن است. آزمایش بازیابی برای واکنش بنزالدهید (۱ میلی مول)، دی‌مدون (۱ میلی مول) و مالونونیتریل (۱ میلی مول) در شرایط بهینه تعیین شده، انجام شد. نتایج در (نمودار ۱) نمایش داده شده است. در پایان هر واکنش کاتالیزگر با اتانول کاملاً شستشو شده و در دمای  $70^{\circ}\text{C}$  خشک شد و همانطور که در این طرح نشان داده شده است از کاتالیزگر CPSMA-Ni تا پنج دوره می‌توان با بازده خوب بدون تغییر قابل توجه خصلت کاتالیزگری استفاده نمود.

#### نمودار ۱. بازیابی کاتالیزگر



#### خلاصه

کاتالیزگر اتصال عرضی شده پلی (استایرن-کو-مالئیک انیدرید) در این پژوهه با نیکل سولفات شش آبه برای بررسی میزان تاثیر آن در سنتز کروممنها به عنوان کاتالیزگر اصلاح شد پلیمریزاسیون استایرن و مالئیک انیدرید در ابتدا کوپلیمر مدنظر را به دست داد. سپس کوپلیمر حاصل با استفاده از ۱،۳-فنیلن دی آمین اتصال عرضی شد و در نهایت کوپلیمر اتصال عرضی شده با نیکل سولفات اصلاح شد. این کاتالیز باروشهای طیف سنجی مختلفی نظیر FTIR، EDX، XRD و FESEM مورد

بررسی و شناسایی قرار گرفت. به منظور بررسی خصوصیات کاتالیزگری پلیمر اصلاح شده با نیکل سولفات، سنتز انواع مختلف مشتقات ۲-آمینو- $H_4$ -کروم با استفاده از واکنش مشتقات آلدهید با مالونونیتریل در مجاور تسبیکله‌گزادی اون، رزورسینول و یا نفتول مورد بررسی قرار گرفت. ۲-آمینو- $H_4$ -کروم در شرایط ملایم با بازده خوب تا عالی (٪ ۹۶ تا ۸۵٪) سنتز شدند. این کاتالیزور ناهمگن پلیمری عملکرد خوبی در سنتز مشتقات کروم داشت. این کاتالیزور را می‌توان بدون پیش فعال سازی بازیابی و تا ۵ بار متوالی، بدون کاهش قابل توجه کارایی آن استفاده کرد.

#### ۴-تقدیر و تشکر

نویسنده‌گان مقاله از حمایتهای مالی معاونت پژوهشی و فناوری دانشگاه دامغان صمیمانه تشکر مینمایند.

#### ۵-مراجع

- [1]. V. Chiroli, M. Benaglia, A. Puglisi, R. Porta, RP. Jumde and A. Mandoli, *Green Chem.* **16** (2014) 2798.
- [2]. A. Akelah and DC. Sherrington, *Chem Rev.* **81** (1981) 557.
- [3]. M. Baghayeri, EN. Zare and R. Hasanzadeh, *Mater Sci Eng.* **39** (2014) 213.
- [4]. J. Gil-Moltó, S. Karlström and C. Nájera, *Tetrahedron*, **61** (2005) 12168.
- [5]. A. Maleki, J. Rahimi, Z. Hajizadeh and M. Niksefat, *J.Organomet.Chem.* **881** (2019) 58.
- [6]. A. Maleki, P. Zand, Z. Mohseni and R. Firouzi-Haji, *Nano-Struct. Nano-Objects.* **16** (2018) 31.
- [7]. M. Mamaghani, RH. Nia, F. Tavakoli and P. Jahanshahi, *Curr. Org. Chem.* **22** (2018) 1704.
- [8]. K. William, K. Shailaja, J. Songchun, Z. Hong, Z. Jianghong, J. Shaojuan, X. Lifen, C. Candace, D. Re' al, B. Nancy, V. Louis, C. Sylvie, D. Jennifer, A. Giorgio, L. Denis, L. Serge, G. Henriette, T. Ben, D. John and X.C Sui, *Med. Chem. Lett.* **15** (2005) 4745.
- [9]. SJ. Mohr, MA, Chirigos, FS. Fuhrman and JW. Pryor, *Cancer Res.* **35** (1975) 3750.
- [10]. Sh. Abdolmohammadia and S. Balalaie, *Tetrahedron Lett.* **48** (2007) 3299.
- [11]. MM. Khafagy, AHFA. El-Wahab, FA. Eid and AM. El-Agrody, *Farmaco.* **57** (2002) 715
- [12]. AH. Bedair, HA. Emam, NA. El-Hady, KAR. Ahmed and AM. El-Agrody, *Farmaco*, **56** (2002), 965.
- [13]. A. Mart'inez-Grau and JL. Marco, *Chem. Lett.* **7** (1997) 3165.
- [14]. MM. Ahmed, MB. El-Saghier, BK. Naili, NA. Rammash and MK. Saleh Khaled, *Arkivoc.* (2007) 83
- [15]. S. Khaksar, A. Rouhollahpour and S. MohammadzadehTales, *J. Fluor.Chem.* **141** 2012) 11.(
- [16]. PN. Moghadam and EN. Zareh, *e-Polymers*, **10** (2010).
- [17]. D. Tahmassebi, JE. Blevins and SS. Gerardot, *Appl. Organomet. Chem.* **33** (2019) e4807.
- [18]. MG. Dekamin and M. Eslami, *Green Chem.* **16** (2014), 4914.

- [19]. SR. Kale, SS. Kahandal, AS. Burange, MB. Gawande and RV. Jayaram, *Catal. Sci. Technol.* **3** (2013) 2050.
- [20]. J. Safari, Z. Zar negar and M. Heydarian, *Bull. Chem. Soc. Jpn.* **85** (2012) 1332.
- [21]. R. Rahnamafa, L. Moradi and M. Khoobi, *Res. Chem. Intermed.* (2020) 1.
- [22]. MG. Dekamin, SZ. Peyman, Z. Karimi, S. Javanshir, MR. Naimi-Jamal and M. Barikani, *Int.J. Biol. Macromol.* **87** (2016) 172.
- [23]. TS. Jin, JC. Xiao, SJ. Wang and TS. Li, *ULTRASON SONOCHEM.* **11** (2004) 393.
- [24]. H. Kiyani and F. Ghorbani, *J. Saudi Chem.Soc.* **18** (2014) 689.
- [25]. F. Khorsi Damghani, SA. Pourmousavi, and H. Kiyani, *H. Applied Chemistry.* **14** (2014) 109.
- [26]. MA. Zolfigol, N. Bahrami-Nejad, F. Afsharnadery and S. Baghery, *J. Mol. Liq.* **221** (2016) 851.
- [27]. VM. Joshi, RL. Magar, PB. Throat, SU. Tekale, BR. Patil, MP. Kale and RP. Pawar, *Chin. Chem. Lett.* **25** (2014) 455.
- [28] K. Aswin, SS. Mansoor, K Logaiya, SPN. Sudhan, VS. Malik, and H. Ramadoss, *RES CHEM INTERMEDIAT.* 40 (2014) 2583.